

دراسة تغير الشدة الليزرية والطول الموجي للليزر CO_2 -TEA على حساسية الكواشف البلازمية

A study Intensity and Wave Length TEA- CO_2 Laser for sensitivity of Plasma detector

م.م.حوراء محمد عباس الميالى

قسم الفيزياء - كلية العلوم - جامعة كربلاء

الخلاصة :

تم دراسة تأثير الشدة الليزرية الداخلة للليزر CO_2 -TEA على حساسية أهداف صلبة ذات أعداد تكافؤ (2,3,4) المستخدمة ككافش بلازمي وقد أظهرت النتائج تناقص قيم كل من (كثافة الأيونات ، تيار الانبعاث الإلكتروني ، الفولتية الخارجية) مع زيادة عدد التكافؤ لمادة الهدف وزيادة حساسية الكافش البلازمي عند الشدة الليزرية والطول الموجي الأقل . وقد بيّنت النتائج إن زيادة الشدة الليزرية ترفع درجة حرارة المادة وتزيد كثافة الإلكترونات والأيونات لحالة البلازما .

Abstract :

The change of incident laser TEA - CO_2 intensity for (10^9 , 10^{10}) W/cm^2 values in (10.6,9.6) μm wave length are studied for sensitivity of plasma for many solid target which have (2,3,4) values number . The result appears that the electron density , electron emission current , output voltage and sensitivity of plasma detector are decreasing with increasing of valence number for target , sensitivity of Plasma detector are decreasing with intensity and increasing with wave length of laser. This results also show that the laser intensity is increasing of the target temperature, the density of electrons and ions in plasma state .

الهدف من البحث

دراسة امكانيه استخدام مواد مختلفه ككافش للاسلحه الموجهه بالليزر ، امكانيه توليد فولتيه كهربائيه باستخدام البلازما، عمل حاله بلازما مشابهه لحاله بلازما بعض النجوم على الارض لغرض دراسه صفات النجوم .

المقدمة :

يعد ليزر CO_2 -TEA (Transverse Excitation Atmospheric- CO_2 laser) ذي الإثارة المستعرضة أحد أنواع ليزر الغازى الجزيئي الذي يحدث فعل الليزر فيه بين مستويين من مستويات الطاقة المختلفة للجزئية والذي يتميز عن بقية أنواع ليزر CO_2 باتساع خط اتساعه الليزري الكبير نسبياً والتي تستخدمنها تقنية تثبيت النمط لانتاج نبضات ليزر تستغرق اقل من نانو ثانية وكما يتميز بقدرة نتاج عالية بزيادة الضغط [1] وعند تركيز شعاع الليزر الساقط بكثافة قدره أكثر من 10^9 W/cm^2 تولد نبضات فولتية عابرة في الغاز البلازمي حيث تنتقل ماده السطوح المعدنية من الحالة المتعادله إلى حالة البلازما والمكونه من الأيونات والإلكترونات وهذه الظاهرة تم تطبيقها ككافش للحزم الليزرية عالية الشدة وقد تطور ككافش لنبضات ليزر CO_2 وسي هذا الكافش بالكافش البلازمي plasma detector ، ويكون الكافش البلازمي من الزجاج وبشكل اسطوانه وتحوي على نافذه تسمح للشعاع بال النفود وهناك فتحه اخر يسيطر عليها صمام وفتحه اخر لمرافقه انبعاث البلازما وعده لامه على النافذه الاولى كما يتكون من كاثود وانود يتصل الكاثود (الهدف) بجهاز راسم النبذات اما (الانود) فيوصل بالارض [2,3,4,5,6,7] كما موضح في الشكل (١).

الجانب النظري

تستخدم عدة مواد كأهداف لأنشعه الليزر الساقطة تتغير حساسيتها نسبة للإشعاع الساقط باختلاف العدد معلمات تتعلق بالمادة الهدف والإشعاع الساقط عليه مثل كثافة القدرة وطول النبضة وقابلية الهدف للامتصاص والانعکاس وغيرها [4] ان العلاقة بين الفولتية الخارجية وشدة الإشعاع الساقط تعطي من علاقة الانبعاث الإلكتروني من الكاثود الى الانود حيث تفصل الإلكترونات عن الأيونات فيتولد مجال كهربائي يعمل على تعجيل الأيونات وتباطؤ الإلكترونات وتقل سعة المجال الكهربائي بنقصان الطاقة الحرارية للإلكترونات وباستخدام النموذج الهايبروديناميكي للبلازما والذي يأخذ بالحساب نموذج تخخل الضغط للتعدد للهایبروجین يمكن إيجاد حساسية الأهداف الصلبة ذات أعداد التكافؤ المختلفة والذي يتعامل مع الإلكترون واليون بمعادله حفظ الزخم والاستمرارية ومعادله بوazen ويمكن إيجاد حساسية الأهداف الصلبة ذات أعداد التكافؤ المختلفة لشدة ليزر TEA - CO_2 النبضي نظرياً باستخدام العلاقات الآتية [11,10,9,8,6,4] :-

$$N_i = \frac{1.1 \times 10^{12}}{Z\lambda^2} \quad \dots \dots \dots \quad (1)$$

حيث إن :-

$$N_i \text{ كثافة الأيونات و } Z \text{ عدد التكافؤ و } \lambda \text{ الطول الموجي} \\ J = S N_e e \left[\frac{K_B T_e}{2\pi m_e} \right]^{0.5} \exp \left[-2 \ln \left(\frac{4\pi N_i Z^2 e^2}{m_i} \right)^{0.5} * t \right] \dots \dots \dots \quad (2)$$

حيث إن :-

$$J \text{ تيار الانبعاث الإلكتروني} \\ S \text{ مساحة انبعاث البلازما} \\ N_e \text{ كثافة الإلكترون} \\ e \text{ شحنة الإلكترون وتساوي } (1.6 \times 10^{-19} \text{ colom}) \\ T_e \text{ درجة حرارة الإلكترون} \\ K_B \text{ ثابت بولتزمان ويساوي } (1.38 \times 10^{-23} \text{ jol/k}) \\ m_e \text{ كتلة الإلكترون وتساوي } (9.1 \times 10^{-31} \text{ kg}) \\ m_i \text{ كتلة الأيون} \\ t \text{ زمن النبضة}$$

ان البلازما المتبعة من الهدف تولد فرق جهد ومجال كهربائي وعند وضع متعددة نحصل على خرج الفولتية حسب العلاقة الآتية:-

$$V = Jt / c \quad \dots \dots \dots \quad (3)$$

حيث إن :-

$$V = K I^{1.1} \quad \dots \dots \dots \quad (4) \\ V \text{ الفولتية} \\ c \text{ سعة المتعددة} \\ I \text{ الشدة الليزرية الداخلية} \\ K \text{ حساسية الكاشف البلازمي}$$

النتائج والمناقشة :

يوضح الشكل (2) تناقص قيم كثافة الأيونات مع تزايد عدد التكافؤ للأهداف الصلبة بثبوت بقية الاعلومات الخاصة بالهدف للأطوال الموجي μm ، $9.6 \mu\text{m}$ ، $10.6 \mu\text{m}$ للليزر CO_2 المثار عرضياً على التوالي والمحصل عليها من العلاقة (1) عند $z = (2,3,4)$ للأهداف الصلبة المختلفة وللمواد التي يمكن استخدامها في إنتاج البلازما والجدول (1) يبين بعضاً منها . وذلك لاعتماد كثافة الأيونات المتولدة على مقلوب عدد التكافؤ حسب العلاقة (1) كما بين الشكل أيضاً إن نفس قيم الكثافة الأيونية تزداد عند الطول الموجي الأقصر وذلك بسبب زيادة طاقة الشعاع الساقط بقصر طوله الموجي وزيادة إمكاناته على رفع درجة حرارة مادة الهدف مما يساعد على زيادة الكثافة الأيونية المتناسبة مع درجة الحرارة حسب قوانين الموازنة بين كثافة الإلكترونات ودرجة الحرارة والتي أوجدها الباحث (Puell) وحسب العلاقات الآتية [12] :

$$N_e = K_1 T_e^{3/4} \quad \dots \dots \dots \quad (5)$$

$$T_e = K_2 I^{4/9} \quad \dots \dots \dots \quad (6)$$

حيث إن : (K_2, K_1 ثوابت)

يوضح الشكل (3) تناقص قيم تيار الانبعاث الإلكتروني من الهدف خلال الفراغ بزيادة عدد التكافؤ عند ($z=2,3,4$) والمحصل عليها من العلاقة (2) عندما تكون مساحة الانبعاث للبلازما تساوي 78.53 mm^2 [9] وزمن النبضة يساوي 100 وذلك بسبب اعتماد

تيار الانبعاث الإلكتروني على عدة معلمات أهمها كثافة الإلكترونات وبشكل طردي كما يبين الشكل (3) تناقص نفس القيمة مع تزايد الطول الموجي وذلك لزيادة كثافة الإلكترونات والمساوية بدورها لكتافة الأيونات (كون البلازما متعادلة) بتناقص الطول الموجي لزيادة كثافة القدرة الساقطة مع زيادة التردد .

الشكل رقم (4) يوضح تناقص قيم الفولتية المتولدة مع عدد التكافؤ طبقاً للعلاقة (3) عندما تكون قيمة المتسبة تساوي 100 pf [9] وتناقص نفس القيم للفولتية مع تزايد الطول الموجي لاعتماد قيمة الفولتية الخارجية على تيار الانبعاث الإلكتروني وكانت قيم الفولتية متقاربة مع ما حصل عليه الباحثان [13] باستعمال هدف نحاسي لليزر Co_2 عند الخط $10.6 \mu\text{m}$ والباحث

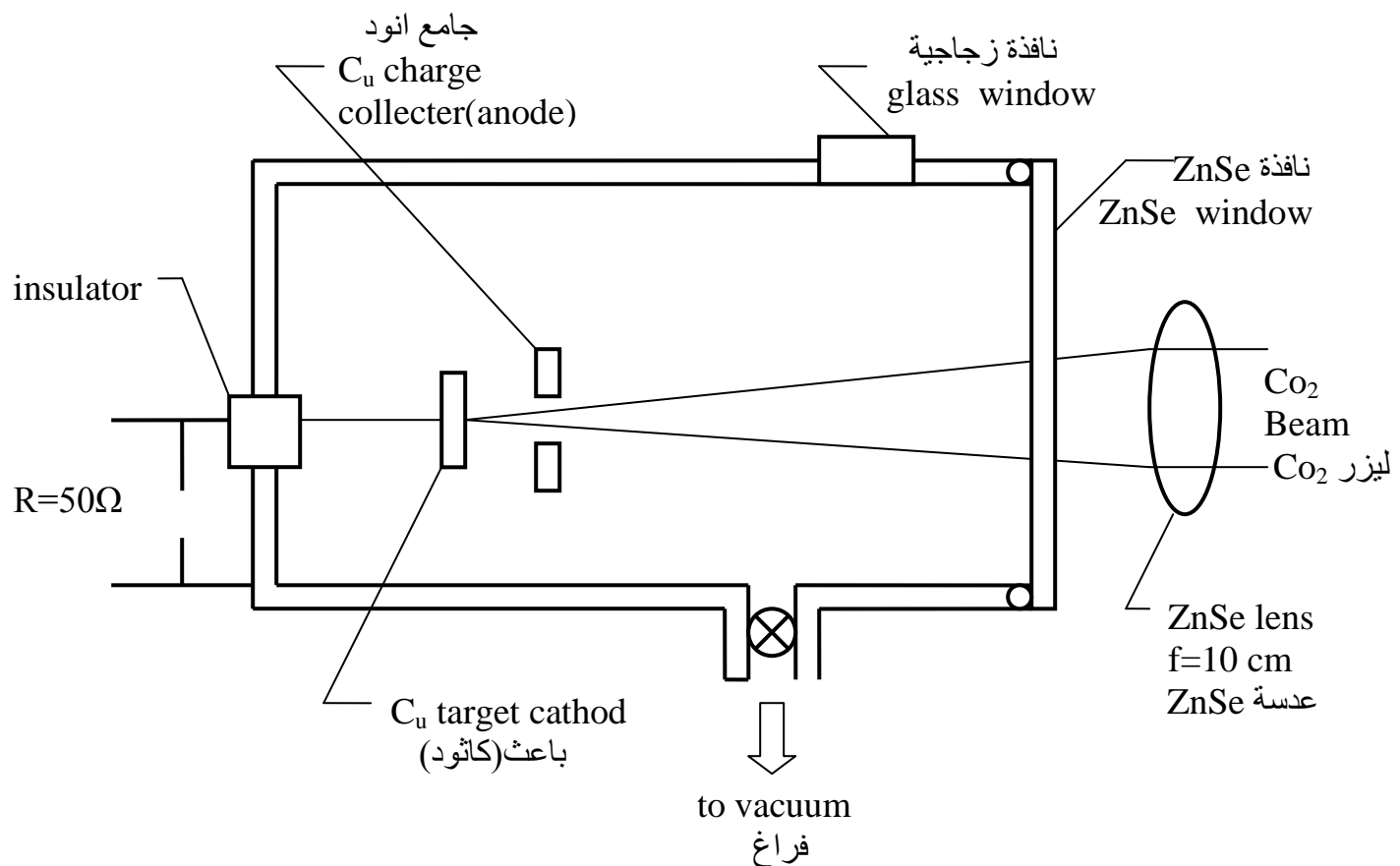
[14] عندما حول إشارة ليزر TEA- Co_2 إلى إشارة كهربائية عند الشدة $1.4 \times 10^9 \text{ W/cm}^2$ يبين الشكل (5) تناقص قيم حساسية الكواشف البلازمية نظرياً مع زيادة عدد التكافؤ وحسب العلاقة (4) عندما تكون شدة الإشعاع الساقط لليزر Co_2 تساوي 10^{10} W/cm^2 . ويبين الشكل (6) تناقص قيم حساسية الكواشف البلازمية نظرياً مع زيادة عدد التكافؤ وحسب العلاقة (4) عندما تكون شدة الإشعاع الساقط لليزر Co_2 تساوي 10^9 W/cm^2 وذلك بسبب اعتماد حساسية الكواشف على الفولتية وبشكل متزايد وعلى الشدة الليزرية المرفوعة للأس (1.1) وبشكل عكسي حسب العلاقة (4) كما تغيرت قيم حساسية الكواشف خطياً مع تغير قيمة الشدة الليزرية وهذا مطابق لما حصل عليه الباحث Ichikawa Y. وأخرون [9] عند الخط $9.6 \mu\text{m}$ والباحث عبد الواحد [4] عند الخط $10.6 \mu\text{m}$.

الاستنتاجات :

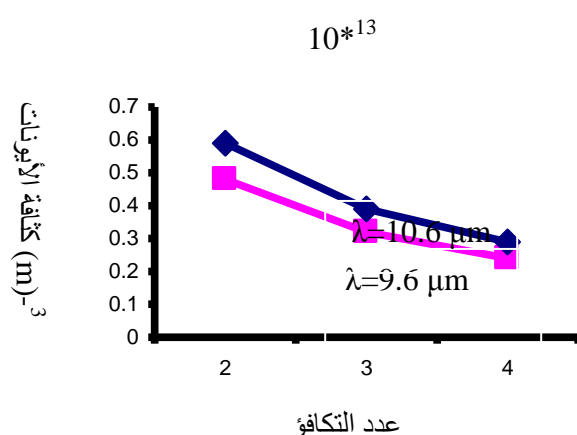
- ١- نجد ان حساسية الكواشف البلازمية هي دالة لا عدد التكافؤ للمواد المستعملة كاهداف لأشعة الليزر حيث انها تتناقص بزيادتها وكذلك تزداد بتناقص الاطوال الموجية وتقل ايضاً بزيادة الطاقة لنفس الطول الموجي.
- ٢- ان حساسية الكاشف البلازمي تتغير وبشكل خطى مع كثافة القدرة وخاصة عند القيم $10^9, 10^{10} \text{ W/cm}^2$ حيث نجد اعلى قيمة الحساسية عند الطول الموجي $9.6 \mu\text{m}$ وللهدف ذو العدد التكافوى ($z=2$) .

المصادر :

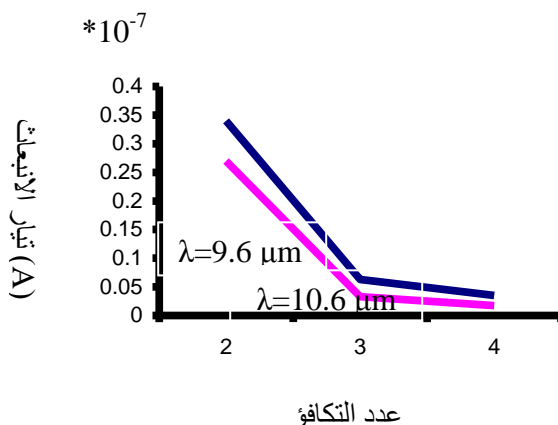
- ١- سهام قندلا ، "فيزياء الليزر وبعض التطبيقات العملية" ، جامعة بغداد/ كلية التربية 1987 .
- ٢- A.R. Daniels , "Physical Chemistry" , 5th Edition , John Wiley and Sons . Inc. , 1980 .
- ٣- Richard E.Hong.Appl.phys.Lett.vol.3.No.1 , 1963 .
- ٤- صاحب نعمة عبدالواحد ، "تقدير وقياس زمن نبضات ليزر Co_2 باستخدام الكاشف البلازمي " ، رسالة دكتوراه ، جامعة بغداد/ كلية العلوم ، 1998 .
- ٥ - حوراء محمد عباس ، "دراسة بعض الخصائص الريولوجية والبصرية لمحلول بولي ايزوبرين" ، رسالة ماجستير ، جامعة الكوفة/ كلية التربية للبنات ، 2005 .
- ٦ - حسن علي فليح ، "دراسة مميزات البلازما المنتجة بالليزر" ، رسالة ماجستير ، جامعة بغداد/ كلية العلوم ، 1992 .
- ٧- عباس حمادي الوtar وآخرون ، "أشعة الليزر واستخداماتها" ، جامعة بغداد / كلية العلوم ، ١٩٨٩ .
- ٨- Max C.E., LLNL Rep.No.UCRL-53107 , 1981 .
- ٩- Y. Ichikawa , Y.T.Sunawaki , Infrared phys. Vo1.25 , No., 4 , 1985 .
- ١٠- Allen J.E. and Andrews.J.G.J. plasma phys. No.4 , 1970 .
- ١١- Grow J.E. , Auer P.L. and Allen J.E.,J. plasma phys. No.14 ,1975 .
- ١٢- Puell H. , Z. Naturf.25a , 1970 .
- ١٣- W. T. Silfvast and L.H.Zeto , Appl. Phys. Leff.vo1.31 , No.11 .1977.
- ١٤- Qihong Lou , laser and particle Beam ,vo1.8 ,No. (1-2) , 1990 .



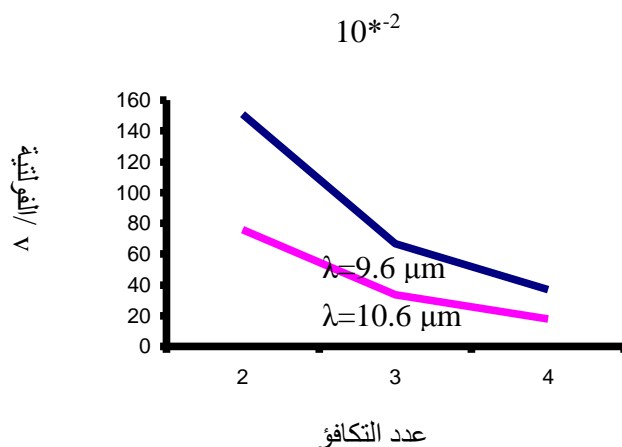
الشكل (١)
تركيب الكاشف البلازمي



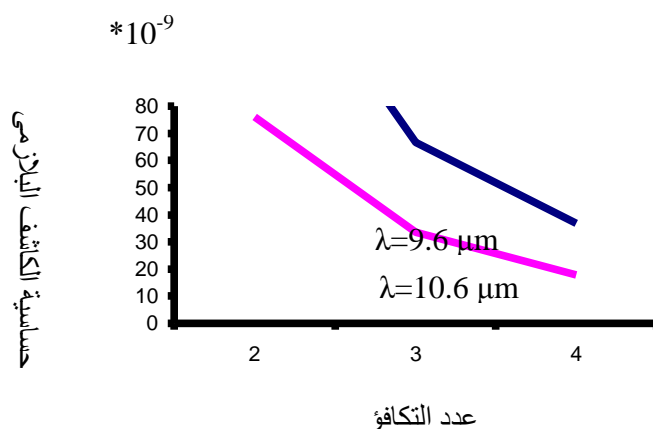
شكل (٢) يوضح تغير قيمة كثافة الأيونات مع تغيير عدد التكافؤ للهدف والطول الموجي للليزر



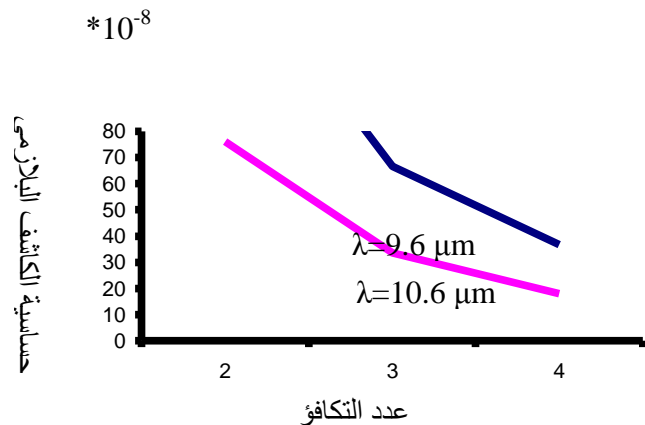
شكل (٣) يوضح تغير قيم تيار الانبعاث الالكتروني مع تغير عدد التكافؤ للهدف والطول الموجي لليزر



شكل (٤) يوضح تغير قيم الفولتية مع تغير عدد التكافؤ للهدف والطول الموجي لليزر



شكل (٥) يوضح تغير قيم حساسية الكاشف اللازمي مع تغير عدد التكافؤ للهدف والطول الموجي لليزر
($I=10^{10} \text{ W/cm}^2$)



شكل (٦) يوضح تغير قيم حساسية الكاشف البلازمي مع تغيير عدد التكافؤ للهدف والطول الموجي لليزر لشدة ليزر ($I=10^9 W/cm^2$)

جدول (١)
بعض المواد التي يمكن استخدامها في إنتاج البلازما [4]

AL	Cu	Ni	pb
Fe	Mg	Sn	Zn